

# 地榆皂苷 I 调控 *IGFL2-AS1/miR-138-5p* 抑制卵巢癌细胞增殖、侵袭和迁移

许运巧<sup>1</sup>, 刚小清<sup>2</sup>, 李金锋<sup>1</sup>

1. 驻马店市中心医院 妇产科, 河南 驻马店 463000

2. 河南省人民医院 妇产科, 河南 郑州 450000

**摘要:** 目的 探讨地榆皂苷 I 对卵巢癌细胞增殖、侵袭和迁移的影响及分子机制。方法 人卵巢癌 A2780 细胞分别用 7.5、15.0、30.0  $\mu\text{mol/L}$  的地榆皂苷 I 处理, 同时设置 si-NC 组、si-IGFL2-AS1 组、地榆皂苷 I+pcDNA-IGFL2-AS1 组、地榆皂苷 I+pcDNA 组; MTT 检测细胞增殖抑制率; 克隆形成实验检测细胞克隆形成数; Transwell 法检测迁移和侵袭细胞数; Western blotting 法检测 E-钙黏蛋白 (E-cadherin) 和 N-钙黏蛋白 (N-cadherin) 表达; 双荧光素酶报告实验检测 *IGFL2-AS1* 和 *miR-138-5p* 的靶向关系。**结果** 不同浓度的地榆皂苷 I 处理 A2780 细胞后, 细胞增殖、迁移和侵袭能力显著减弱 ( $P < 0.05$ ), E-cadherin 和 *miR-138-5p* 表达上调 ( $P < 0.05$ ), N-cadherin 和 *IGFL2-AS1* 表达下调 ( $P < 0.05$ ), 呈剂量相关性。下调 *IGFL2-AS1* 抑制 A2780 增殖、迁移及侵袭 ( $P < 0.05$ )。**结论** 地榆皂苷 I 通过调控 *IGFL2-AS1/miR-138-5p* 抑制卵巢癌细胞增殖、侵袭和迁移。

**关键词:** 地榆皂苷 I; *IGFL2-AS1*; *miR-138-5p*; 卵巢癌; 增殖; 侵袭; 迁移

中图分类号: R285.5 文献标志码: A 文章编号: 0253 - 2670(2024)04 - 1248 - 07

DOI: 10.7501/j.issn.0253-2670.2024.04.018

## Ziyuglycoside I inhibits proliferation, invasion and migration of ovarian cancer cells by regulating *IGFL2-AS1/miR-138-5p*

XU Yunqiao<sup>1</sup>, GANG Xiaoqing<sup>2</sup>, LI Jinfeng<sup>1</sup>

1. Obstetrics and Gynecology Department, Zhumadian Central Hospital, Zhumadian 463000, China

2. Obstetrics and Gynecology Department, Henan Provincial People's Hospital, Zhengzhou 450000, China

**Abstract: Objective** To explore the effect and molecular mechanism of ziyuglycoside I on proliferation, invasion and migration of ovarian cancer cells. **Methods** Ovarian cancer cells A2780 were treated with 7.5, 15.0, 30.0  $\mu\text{mol/L}$  of ziyuglycoside I. At the same time, si-NC group, si-IGFL2-AS1 group, ziyuglycoside I + pcDNA-IGFL2-AS1 group and ziyuglycoside I + pcDNA group were set up. MTT was used to detect proliferation inhibition rate of cells; Clone formation experiment was used to detect cell clone formation number; Transwell method was used to detect the numbers of migrating and invading cells; Western blotting was used to detect E-cadherin and N-cadherin protein expressions; Dual luciferase reporter experiment was used to detect the targeting relationship between *IGFL2-AS1* and *miR-138-5p*. **Results** After treatment of A2780 cells with different concentrations of ziyuglycoside I, cell proliferation, migration and invasion were significantly weakened ( $P < 0.05$ ), expressions of E-cadherin and *miR-138-5p* were up-regulated ( $P < 0.05$ ), and the expressions of N-cadherin and *IGFL2-AS1* were down-regulated in a dose-dependent manner ( $P < 0.05$ ). After down-regulating *IGFL2-AS1*, the proliferation, migration and invasion of A2780 cells were inhibited ( $P < 0.05$ ). *IGFL2-AS1* targeted and regulated *miR-138-5p*. Overexpression of *IGFL2-AS1* could attenuate the effects of ziyuglycoside I on proliferation, migration and invasion of A2780 cells ( $P < 0.05$ ). **Conclusion** Ziyuglycoside I inhibits the proliferation, invasion and migration of ovarian cancer cells by regulating *IGFL2-AS1/miR-138-5p*.

**Key words:** ziyuglycoside I; *IGFL2-AS1*; *miR-138-5p*; ovarian cancer; proliferation; invasion; migration

卵巢癌是死亡率最高的妇科肿瘤, 严重威胁女性健康。中药在抗肿瘤治疗中发挥重要的作用, 能

够直接抑制肿瘤细胞生长, 具有多靶点、综合调节、不良反应少的优点, 使用包括植物化学物质在内的

天然产品是一种潜在且有用的癌症治疗方法<sup>[1-2]</sup>。地榆药材为蔷薇科植物地榆 *Sanguisorba officinalis* L. 或长叶地榆 *S. officinalis* L. var. *longifolia* (Bert.) Yu et Li 的干燥根，是一种常见的草本植物，广泛分布于我国和其他亚洲国家，具有多种药用价值，地榆中含有多种皂苷类化合物，主要包括地榆皂苷 I、II，其中以地榆皂苷 I 含量最高，具有较强的抗氧化、抗炎、抗肿瘤活性，应用前景广阔<sup>[3]</sup>。研究报道，地榆皂苷 II 可诱导人结肠癌细胞凋亡<sup>[4]</sup>；地榆皂苷 II 可抑制三阴性乳腺癌细胞的迁移和侵袭<sup>[5]</sup>；地榆皂苷 I 可通过激活线粒体通路抑制人甲状腺乳头状癌细胞生长<sup>[6]</sup>，但其对卵巢癌细胞肿瘤特性的影响尚不清楚。

*miR-138-5p* 在卵巢癌组织和细胞中下调表达，*miR-138-5p* 上调可抑制卵巢癌进展，且其受 lncRNA *TRPM2-AS* 调控<sup>[7]</sup>。*IGFL2-AS1* 表达下调限制胃癌细胞增殖及转移<sup>[8]</sup>。生物学软件预测发现 *miR-138-5p* 与 *IGFL2-AS1* 有结合位点。而 *IGFL2-AS1* 对卵巢癌细胞增殖、侵袭迁移的影响及其与 *miR-138-5p* 的关系也尚未可知。本研究旨在探讨地榆皂苷 I 对卵巢癌细胞增殖、侵袭迁移的影响是否涉及 *IGFL2-AS1* 和 *miR-138-5p*。

## 1 材料

### 1.1 细胞

人卵巢癌 A2780 细胞购自上海雅吉生物科技有限公司。

### 1.2 药品与试剂

地榆皂苷 I (质量分数≥98%，批号 35286-58-9) 购自四川精萃天成药物科技有限公司； RPMI 1640 培养基(批号 R101)、E-钙黏蛋白(E-cadherin, 批号 147301)一抗、N-钙黏蛋白(N-cadherin, 批号 350802)一抗、磷酸缓冲盐溶液(批号 CC0005) 购自上海雅吉生物科技有限公司； MTT 试剂盒(批号 OX01472)、pcDNA3.1 (+) 载体(批号 MZ0157) 购自上海坼明生物科技有限公司；带有基质胶的 Transwell 小室(批号 3407) 购自美国 Corning 公司；胎牛血清(批号 AB20180244D) 购自上海诺娃医药科技有限公司；胰蛋白酶(批号 T8150)、二抗(批号 SE131、SE134)、qRT-PCR 试剂(批号 SR1111) 双荧光素酶报告基因检测试剂盒(批号 D0011)、RIPA 裂解液(批号 R0010)、Trizol 试剂(批号 15596018) 吉姆萨(批号 51811-82-6) 购自北京索莱宝科技有限公司。

### 1.3 仪器

CKX53 型倒置显微镜(日本 Olympus 公司)； TG16 型离心机(上海卢湘仪实验室仪器有限公司)； Synergy H1 型酶标仪(美国伯腾公司)； XCell4 SureLock 型电泳仪(美国 Thermo Fisher Scientific 公司)； IQ5 型 qRT-PCR 仪(美国 Bio-Rad 公司)。

## 2 方法

### 2.1 MTT 检测细胞增殖

A2780 细胞用 RPMI 1640 培养，收集处于对数生长期的细胞并调整密度，以  $3 \times 10^3$  个/孔接种于 96 孔板，分别加入不同浓度(7.5、15.0、30.0  $\mu\text{mol/L}$ )的地榆皂苷 I，另设置不含药物的对照组，培养至铺满孔底，每孔加入 MTT 溶液 20  $\mu\text{L}$ ，培养 4 h，小心吸去培养液，加入二甲基亚砜，采用酶标仪测定吸光度(A)值，计算细胞增殖抑制率。

$$\text{细胞增殖抑制率} = 1 - A_{\text{实验}} / A_{\text{对照}}$$

### 2.2 克隆形成实验检测细胞克隆形成

将处于对数生长期的 A2780 细胞重悬成细胞悬液，以 500~700 个/孔接种于 6 孔板，分别加入不同浓度(7.5、15.0、30.0  $\mu\text{mol/L}$ )的地榆皂苷 I，另设置不含药物的对照组，培养直至出现肉眼可见克隆，甲醇固定，吉姆萨染色，磷酸缓冲液洗涤细胞并晾干，计数 >50 个细胞的集落。

### 2.3 Transwell 实验检测细胞迁移和侵袭能力

取对数生长期的 A2780 细胞，用无血清培养液稀释，调整细胞密度，接种至 Transwell 小室上层，用镊子将小室置于培养板内，分别加入不同浓度(7.5、15.0、30.0  $\mu\text{mol/L}$ )的地榆皂苷 I，另设置不含药物的对照组，培养 24 h，甲醇固定，结晶紫染色，用磷酸缓冲液除去没有结合的结晶紫，并用棉签轻轻擦掉上层细胞，显微镜下随机观察并记数迁移细胞数。用无血清培养基稀释 Matrigel 胶，并涂于上室的聚碳酸酯膜表面，其余步骤同迁移实验，分析细胞侵袭能力。

### 2.4 Western blotting 检测 E-cadherin 和 N-cadherin 蛋白表达

将处于对数生长期的 A2780 细胞重悬成细胞悬液，以  $2 \times 10^5$  个/孔接种于 6 孔板，分别加入不同浓度(7.5、15.0、30.0  $\mu\text{mol/L}$ )的地榆皂苷 I，另设置不含药物的对照组，培养 24 h。用细胞刮刮下各组细胞，加入 RIPA 裂解液提取蛋白，蛋白样品经十二烷基硫酸钠-聚丙烯酰胺凝胶电泳，转至 PVDF 膜，于封闭液中缓慢摇荡 1 h，分别加入 E-cadherin、

N-cadherin一抗后孵育过夜；加入二抗室温孵育，滴加化学发光液显影。

## 2.5 qRT-PCR 检测 *IGFL2-AS1* 和 *miR-138-5p* 的表达

将处于对数生长期的A2780细胞重悬成细胞悬液，以 $2\times10^5$ 个/孔接种于6孔板，分别加入不同浓度（7.5、15.0、30.0  $\mu\text{mol/L}$ ）的地榆皂苷I，另设置不含药物的对照组，培养24 h。收集细胞，加入Trizol试剂提取RNA，测定RNA浓度和纯度后加入逆转录酶合成cDNA，进行qRT-PCR分析，用 $2^{-\Delta\Delta Ct}$ 法计算相对表达量。以GAPDH和U6为内参，引物序列见表1。

## 2.6 细胞转染

将IGFL2-AS1干扰表达载体及阴性对照转染至A2780细胞，记为si-NC组、si-IGFL2-AS1组；

表1 引物序列  
Table 1 Primer sequences

基因	引物序列 (5'-3')
<i>IGFL2-AS1</i>	F: CTGGCCCAGATCAACAGAAAT R: TAACACGTCCCTGGGTTGACA
<i>miR-138-5p</i>	F: GCCGGATAAGTGTGTTGGTCGA R: ACTGAGCAAGCACTACCACCAAGCA
<i>GAPDH</i>	F: TGTTGCCATCAATCACCCCTT R: CTCCACGACGTACTCAGCG
<i>U6</i>	F: CTCGCTTCGGCAGCACA R: AACGCTTCACGAATTGCGGT

将IGFL2-AS1过表达载体及阴性对照转染至A2780细胞，然后用30  $\mu\text{mol/L}$ 的地榆皂苷I处理，记为地榆皂苷I+pcDNA-IGFL2-AS1组、地榆皂苷I+pcDNA组。分别检测细胞活性、增殖、迁移、侵袭、*IGFL2-AS1*、*miR-138-5p* mRNA表达和E-cadherin、N-cadherin蛋白表达。

## 2.7 双荧光素酶报告实验

设置*miR-138-5p*与MUT-IGFL2-AS1组、*miR-138-5p*与WT-IGFL2-AS1组、miR-NC与MUT-IGFL2-AS1组以及miR-NC与WT-IGFL2-AS1组。用转染试剂依据分组情况将载体转染A2780细胞中，按照说明书分析荧光素酶活性。

## 2.8 统计学分析

采用SPSS 20.0软件进行统计学分析，本研究相关数据均为计量资料，且符合正态分布，用 $\bar{x}\pm s$ 表示，两组比较行t检验，多组间比较采用单因素方差分析。

## 3 结果

### 3.1 地榆皂苷I对A2780细胞增殖、迁移、侵袭和E-cadherin、N-cadherin蛋白表达的影响

如图1和表2所示，不同浓度的榆皂苷I处理A2780细胞后，细胞增殖抑制率和E-cadherin蛋白表达水平均显著升高( $P<0.05$ )，克隆形成数、迁移细胞数、侵袭细胞数和N-cadherin蛋白表达水平均显著降低( $P<0.05$ )，呈剂量相关性。

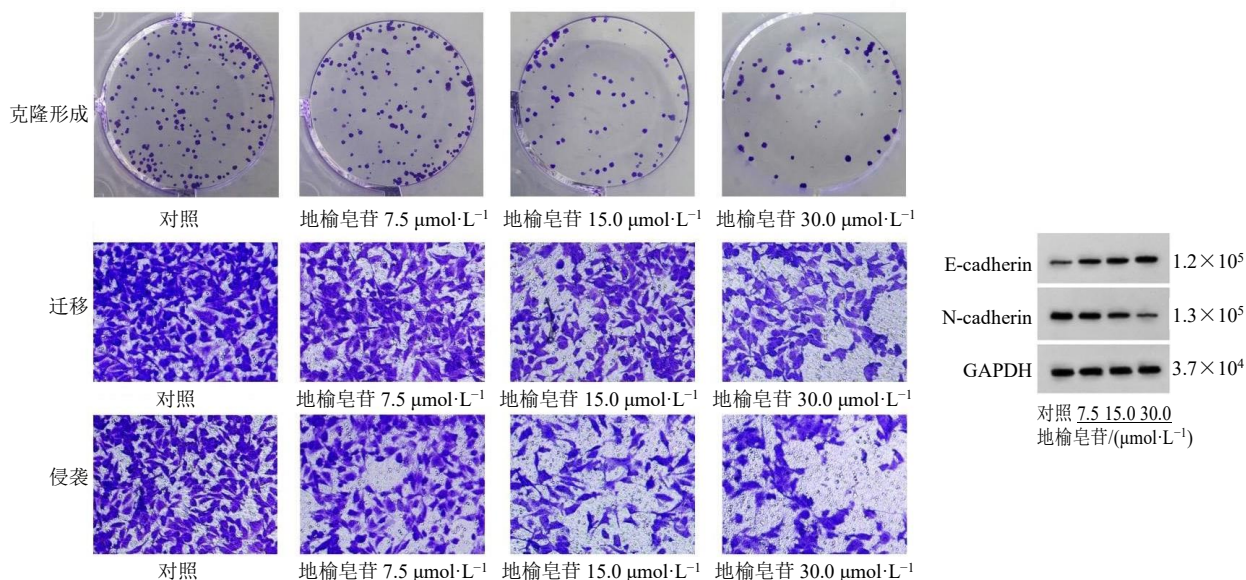


图1 地榆皂苷I对A2780细胞克隆形成、迁移和侵袭以及E-cadherin、N-cadherin蛋白表达的影响

Fig. 1 Effect of ziyuglycoside I on colony formation, migration, invasion and E-cadherin, N-cadherin protein expressions in A2780 cells

表2 地榆皂苷 I 抑制 A2780 细胞增殖、迁移和侵袭 ( $\bar{x} \pm s, n = 9$ )Table 2 Inhibit of proliferation, migration and invasion of A2780 cells by ziyuglycoside I ( $\bar{x} \pm s, n = 9$ )

组别	剂量/( $\mu\text{mol}\cdot\text{L}^{-1}$ )	抑制率/%	克隆形成数/个	细胞数/个		蛋白相对表达量	
				迁移	侵袭	E-cadherin	N-cadherin
对照	—	0.00 ± 0.00	115.22 ± 5.61	168.44 ± 8.00	135.33 ± 6.09	0.15 ± 0.01	0.65 ± 0.05
地榆皂苷 I	7.5	18.31 ± 1.12*	92.56 ± 4.14*	136.56 ± 4.25*	103.89 ± 5.66*	0.29 ± 0.04*	0.50 ± 0.04*
	15.0	31.92 ± 1.66**#	71.00 ± 4.42**#	92.22 ± 4.68**#	81.89 ± 4.28**#	0.48 ± 0.04**#	0.34 ± 0.03**#
	30.0	55.81 ± 1.99**##&	52.33 ± 2.31**##&	68.22 ± 3.97**##&	57.67 ± 3.92**##&	0.71 ± 0.06**##&	0.15 ± 0.01**##&

与对照组比较: \* $P < 0.05$ ; 与地榆皂苷 I (7.5  $\mu\text{mol}\cdot\text{L}^{-1}$ ) 组比较: \*\* $P < 0.05$ ; 与地榆皂苷 I (15.0  $\mu\text{mol}\cdot\text{L}^{-1}$ ) 组比较: # $P < 0.05$ , 表 3 同。

\* $P < 0.05$  vs control group; \*\* $P < 0.05$  vs ziyuglycoside I (7.5  $\mu\text{mol}\cdot\text{L}^{-1}$ ) group; # $P < 0.05$  vs ziyuglycoside I (15.0  $\mu\text{mol}\cdot\text{L}^{-1}$ ) group, same as table 3.

### 3.2 地榆皂苷 I 对 A2780 细胞 *IGFL2-AS1* 和 *miR-138-5p* mRNA 表达的影响

如表 3 所示, 与对照组比较, 地榆皂苷 I 显著抑制 A2780 细胞 *IGFL2-AS1* mRNA 表达 ( $P < 0.05$ ), 促进 *miR-138-5p* mRNA 表达 ( $P < 0.05$ ), 呈剂量相关性。

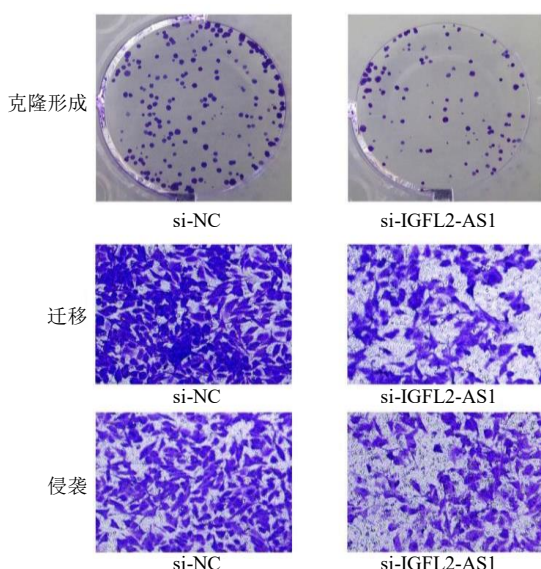
### 3.3 *IGFL2-AS1* 转染效率的检测

如表 4 所示, 与 si-NC 组比较, si-IGFL2-AS1 组 *IGFL2-AS1* mRNA 表达水平显著降低 ( $P < 0.05$ );

### 表3 地榆皂苷 I 对 A2780 细胞 *IGFL2-AS1* 和 *miR-138-5p* mRNA 表达的影响 ( $\bar{x} \pm s, n = 9$ )

Table 3 Effect of ziyuglycoside I on *IGFL2-AS1* and *miR-138-5p* mRNA expressions in A2780 cells ( $\bar{x} \pm s, n = 9$ )

组别	剂量/( $\mu\text{mol}\cdot\text{L}^{-1}$ )	mRNA 相对表达量	
		<i>IGFL2-AS1</i>	<i>miR-138-5p</i>
对照	—	1.00 ± 0.00	1.00 ± 0.00
地榆皂苷 I	7.5	0.75 ± 0.04*	1.59 ± 0.09*
	15.0	0.51 ± 0.05**#	2.16 ± 0.13**#
	30.0	0.25 ± 0.03**##&	3.01 ± 0.16**##&

图2 下调 *IGFL2-AS1* 对 A2780 细胞克隆形成、迁移和侵袭以及 E-cadherin、N-cadherin 蛋白表达的影响Fig. 2 Effect of down-regulation of *IGFL2-AS1* on colony formation, migration, invasion and E-cadherin, N-cadherin protein expressions in A2780 cells表4 各组 *IGFL2-AS1* mRNA 表达 ( $\bar{x} \pm s, n = 9$ )Table 4 *IGFL2-AS1* mRNA expression in each group

组别	( $\bar{x} \pm s, n = 9$ )
si-NC	1.00 ± 0.00
si-IGFL2-AS1	0.34 ± 0.03*
pcDNA	1.00 ± 0.00
pcDNA-IGFL2-AS1	3.21 ± 0.06#

与 si-NC 组比较: \* $P < 0.05$ ; 与 pcDNA 组比较: # $P < 0.05$ 。

\* $P < 0.05$  vs si-NC group; # $P < 0.05$  vs pcDNA group.

与 pcDNA 组比较, pcDNA-IGFL2-AS1 组 *IGFL2-AS1* mRNA 表达水平显著升高 ( $P < 0.05$ )。

### 3.4 下调 *IGFL2-AS1* 对 A2780 细胞增殖、迁移和侵袭的影响

如图 2 和表 5 所示, *IGFL2-AS1* 表达下调显著增加 *miR-138-5p* 表达、增殖抑制率以及 E-cadherin 蛋白表达 ( $P < 0.05$ ), 但减少克隆形成数、迁移细胞数、侵袭细胞数和 N-cadherin 蛋白表达 ( $P < 0.05$ )。

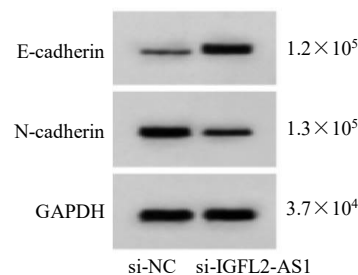


表 5 下调 *IGFL2-AS1* 抑制 A2780 细胞增殖、迁移和侵袭 ( $\bar{x} \pm s, n = 9$ )Table 5 Down-regulation of *IGFL2-AS1* inhibits proliferation, migration and invasion of A2780 cells ( $\bar{x} \pm s, n = 9$ )

组别	<i>miR-138-5p</i> mRNA 相对表达量	抑制率/%	克隆形成数/个	细胞数/个		蛋白相对表达量	
				迁移	侵袭	E-cadherin	N-cadherin
si-NC	1.00 ± 0.00	0.00 ± 0.00	114.33 ± 6.31	165.67 ± 4.85	136.44 ± 7.79	0.16 ± 0.01	0.66 ± 0.05
si-IGFL2-AS1	2.62 ± 0.09*	46.51 ± 2.59*	61.44 ± 2.71*	78.67 ± 4.71*	67.22 ± 2.97*	0.59 ± 0.05*	0.24 ± 0.02*

与 si-NC 组比较: \* $P < 0.05$ 。

\* $P < 0.05$  vs si-NC group.

### 3.5 *IGFL2-AS1* 和 *miR-138-5p* 的靶向关系

Starbase 在线软件预测显示 *IGFL2-AS1* 和 *miR-138-5p* 有互补序列 (图 3)。如表 6 所示, *miR-138-5p* 与 WT-*IGFL2-AS1* 共转染后细胞荧光素酶活性降低, 而 *miR-138-5p* 与 MUT-*IGFL2-AS1* 共转染后细胞荧光素酶活性无显著变化。

### 3.6 过表达 *IGFL2-AS1* 对地榆皂苷 I 处理的 A2780 细胞增殖、迁移和侵袭的影响

如图 4 和表 7 所示, 与地榆皂苷 I+pcDNA 组比较, 地榆皂苷 I+pcDNA-*IGFL2-AS1* 组 *miR-138-5p* mRNA 表达、增殖抑制率和 E-cadherin 蛋白表达水平均显著降低 ( $P < 0.05$ ), 克隆形成数、迁移细胞数、侵袭细胞数和 N-cadherin 蛋白表达水平均显著升高 ( $P < 0.05$ )。

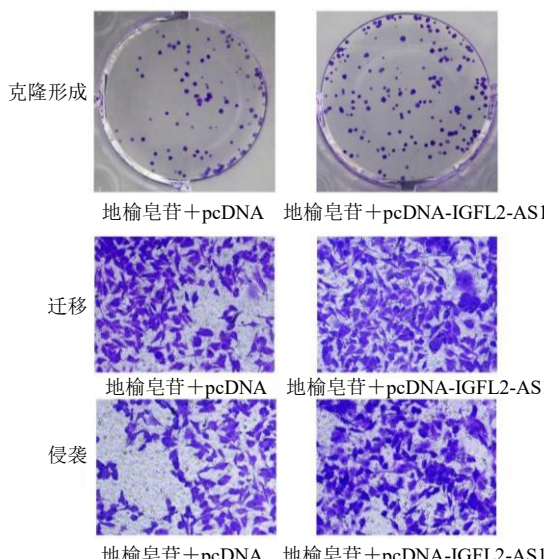


图 4 过表达 *IGFL2-AS1* 对地榆皂苷 I 处理的 A2780 细胞克隆形成、迁移和侵袭以及 E-cadherin、N-cadherin 蛋白表达的影响

Fig. 4 Effect of overexpression of *IGFL2-AS1* on colony formation, migration, invasion and E-cadherin, N-cadherin protein expressions in A2780 cells treated with ziyuglycoside I

## 4 讨论

中药抗肿瘤有其独特的优势, 能改善患者生活质量, 延长生存期, 或能够为卵巢癌的维持治疗提供新的思路<sup>[9-10]</sup>。因此, 开发可用于防治卵巢癌的中

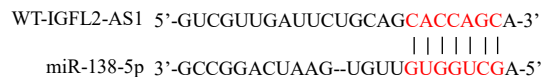


图 3 *IGFL2-AS1* 和 *miR-138-5p* 的结合位点以及 *IGFL2-AS1* 突变位点

Fig. 3 Binding site of *IGFL2-AS1* for *miR-138-5p* and mutated site of *IGFL2-AS1*

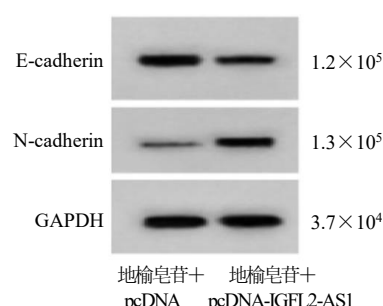
表 6 荧光素酶活性分析 ( $\bar{x} \pm s, n = 9$ )

Table 6 Analysis of luciferase activity ( $\bar{x} \pm s, n = 9$ )

组别	荧光素酶活性	
	WT- <i>IGFL2-AS1</i>	MUT- <i>IGFL2-AS1</i>
miR-NC	0.95 ± 0.06	1.00 ± 0.09
<i>miR-138-5p</i>	0.38 ± 0.04*	1.02 ± 0.12

与 miR-NC 组比较: \* $P < 0.05$ 。

\* $P < 0.05$  vs miR-NC group.



药及有效成分有助于卵巢癌的治疗。研究报道, 地榆皂苷 II 可抑制肝癌细胞的增殖和转移<sup>[11]</sup>; 地榆皂苷 II 可抑制人舌鳞癌 CAL27 细胞的增殖<sup>[12]</sup>; 地榆皂苷 I 通过诱导 p53 介导的 G<sub>2</sub>/M 细胞周期阻滞

表7 过表达IGFL2-ASI对地榆皂苷I处理的A2780增殖、迁移和侵袭的作用( $\bar{x} \pm s, n=9$ )Table 7 Effect of overexpression of IGFL2-ASI on proliferation, migration and invasion of A2780 cells treated with ziyuglycoside I ( $\bar{x} \pm s, n=9$ )

组别	剂量/ ( $\mu\text{mol}\cdot\text{L}^{-1}$ )	miR-138-5p mRNA 相对表达量	抑制率/%	克隆形成数/个			细胞数/个		蛋白相对表达量	
				迁移	侵袭	E-cadherin	N-cadherin			
地榆皂苷I+pcDNA	30	1.00 $\pm$ 0.00	55.99 $\pm$ 2.20	52.22 $\pm$ 3.52	70.22 $\pm$ 4.13	58.33 $\pm$ 3.92	0.69 $\pm$ 0.04	0.15 $\pm$ 0.02		
地榆皂苷I+pcDNA- IGFL2-ASI	30	0.37 $\pm$ 0.04*	21.21 $\pm$ 1.67*	85.22 $\pm$ 4.41*	121.22 $\pm$ 5.09*	90.33 $\pm$ 5.23*	0.35 $\pm$ 0.03*	0.43 $\pm$ 0.03*		

与地榆皂苷I+pcDNA组比较: \* $P<0.05$ 。

\* $P<0.05$  vs ziyuglycoside I + pcDNA group.

和细胞凋亡, 抑制乳腺癌MDA-MB-231细胞的增殖<sup>[13]</sup>; 地榆皂苷I可以抑制细胞活力并诱导视网膜母细胞瘤WERI-Rb-1细胞的凋亡<sup>[14]</sup>。本研究结果显示, 地榆皂苷I处理A2780细胞后, 细胞增殖、迁移和侵袭能力减弱, E-cadherin和miR-138-5p表达上调, N-cadherin和IGFL2-ASI表达下调, 呈剂量相关性; 表明地榆皂苷I抑制A2780细胞增殖、迁移和侵袭。然而, 尚未知地榆皂苷I在卵巢癌的分子机制。

lncRNA IGFL2-ASI可以通过竞争性结合miRNA来解除靶下游靶点的表达抑制, 进而调控人类肿瘤的进展。研究报道, IGFL2-ASI在结直肠癌细胞和组织中显著上调, 敲低IGFL2-ASI抑制了舌鳞状细胞癌细胞的增殖、迁移、侵袭通过靶向调控miR-433-3p的表达<sup>[15]</sup>。同时, 过表达的IGFL2-ASI可以促进胃癌细胞的生长和转移通过竞争性结合miR-802调控环磷酸腺苷调节的磷酸蛋白19(cyclic adenosine monophosphate-regulated phosphoprotein 19, ARPP19)<sup>[8]</sup>。本研究结果表明IGFL2-ASI沉默可抑制A2780细胞增殖、迁移和侵袭。此外, 通过Starbase预测网站发现, miR-138-5p在IGFL2-ASI上存在结合位点, 随后, 本研究证实miR-138-5p是IGFL2-ASI的靶基因。此外, 一些研究表明miR-138-5p在人类多种癌症中发挥抑癌作用。过表达miR-138-5p可通过靶向细胞周期蛋白依赖性激酶6(cyclin-dependent kinase 6, CDK6)使抗性上皮性卵巢癌细胞对紫杉醇敏感<sup>[16]</sup>。同时, 研究报道敲除lncRNA HOTAIR可以通过抑制miR-138-5p调控的zeste增强子同源物2(enancer of zeste homolog 2, EZH2)和沉默信息调节因子1(silent information regulator factor 1, SIRT1)逆转卵巢癌细胞的顺铂耐药<sup>[17]</sup>。本研究发现IGFL2-ASI靶向调控miR-138-5p。提示IGFL2-ASI可能通过调控miR-138-5p影响卵巢癌进展。

本研究用不同浓度的地榆皂苷I处理A2780细胞后, IGFL2-ASI表达水平降低, miR-138-5p表达水平逐渐升高, 表明地榆皂苷I可调控IGFL2-ASI和miR-138-5p的表达。且本研究还发现过表达IGFL2-ASI可减弱地榆皂苷I对A2780细胞增殖、迁移和侵袭的作用。综上, 地榆皂苷I可通过抑制IGFL2-ASI的表达来促进miR-138-5p产生, 进而抑制卵巢癌细胞肿瘤特性。提示IGFL2-ASI可能是卵巢癌的潜在治疗靶点。但本研究仅限于体外实验, 其在体内的作用还有待进一步研究。

**利益冲突** 所有作者均声明不存在利益冲突

## 参考文献

- [1] 李梦皎, 夏雷. 中药治疗卵巢癌的作用机制研究现状 [J]. 国际中医中药杂志, 2020, 42(5): 501-503.
- [2] 刘亚利, 王小霞, 李红霞. 中药有效抗卵巢癌作用成分研究综述 [J]. 临床医学进展, 2020(7): 1457-1462.
- [3] 秦肖菲, 陈永新. 地榆皂苷抗肿瘤机制及药物递送研究进展 [J]. 中国药剂学杂志, 2020, 18(3): 180-186.
- [4] Lkhagvasuren K, Kim J K. Ziyuglycoside II induces caspases-dependent and caspases-independent apoptosis in human colon cancer cells [J]. *Toxicol In Vitro*, 2019, 59: 255-262.
- [5] Wang K, Zou P, Zhu X, et al. Ziyuglycoside II suppresses the aggressive phenotype of triple negative breast cancer cells through regulating Src/EGFR-dependent ITGB4/FAK signaling [J]. *Toxicol In Vitro*, 2019, 61: 104653.
- [6] 高芸, 王柯, 朱雪, 等. 地榆皂苷I诱导人甲状腺乳头状癌细胞BCPAP凋亡的实验研究 [J]. 中国中西医结合杂志, 2018, 38(1): 80-84.
- [7] Ding Y, Tan X Y, Abasi A, et al. LncRNA TRPM2-AS promotes ovarian cancer progression and cisplatin resistance by sponging miR-138-5p to release SDC3 mRNA [J]. *Aging*, 2021, 13(5): 6832-6848.
- [8] Ma Y, Liu Y, Pu Y S, et al. LncRNA IGFL2-AS1 functions as a ceRNA in regulating ARPP19 through competitive

- binding to miR-802 in gastric cancer [J]. *Mol Carcinog*, 2020, 59(3): 311-322.
- [9] 孙彤, 邹永辉. 卵巢癌的中医证治思路和优势 [J]. 世界最新医学信息文摘: 连续型电子期刊, 2020, 20(34): 205.
- [10] 付春燕, 蔡平平. 中医药治疗卵巢癌研究概况 [J]. 世界最新医学信息文摘: 连续型电子期刊, 2020, 20(24): 93-94.
- [11] Liao W Q, Fan L X, Zheng Z G, et al. Ziyuglycoside II exerts antiproliferative and antimetastasis effects on hepatocellular carcinoma cells [J]. *Anticancer Drugs*, 2020, 31(8): 819-827.
- [12] 吴泽承, 张嘉嘉, 彭紫嫣, 等. 地榆皂苷 II 对人舌鳞癌细胞 CAL27 增殖能力的影响 [J]. 生物化工, 2021, 7(1): 81-83.
- [13] Zhu X, Wang K, Zhang K, et al. Ziyuglycoside I inhibits the proliferation of MDA-MB-231 breast carcinoma cells through inducing p53-mediated G<sub>2</sub>/M cell cycle arrest and intrinsic/extrinsic apoptosis [J]. *Int J Mol Sci*, 2016, 17(11): 1903.
- [14] Zhu X, Wang K, Yao Y, et al. Triggering p53 activation is essential in ziyuglycoside I-induced human retinoblastoma WERI-Rb-1 cell apoptosis [J]. *J Biochem Mol Toxicol*, 2018, 32(1): e22001.
- [15] Liu S, Wang X J, Zhang J, et al. LncRNA IGFL2-AS1 as a ceRNA promotes HCT116 cell malignant proliferation via the miR-433-3p/PAK4 axis [J]. *Turk J Gastroenterol*, 2023, 34(5): 497-507.
- [16] Liang M, Li Q, Shi S, et al. Overexpression of miR-138-5p sensitizes taxol-resistant epithelial ovarian cancer cells through targeting cyclin-dependent kinase 6 [J]. *Gynecol Obstet Invest*, 2021, 86(6): 533-541.
- [17] Zhang Y, Ai H, Fan X, et al. Knockdown of long non-coding RNA HOTAIR reverses cisplatin resistance of ovarian cancer cells through inhibiting miR-138-5p-regulated EZH2 and SIRT1 [J]. *Biol Res*, 2020, 53(1): 18.

【责任编辑 李亚楠】